

## **4. ЗАКОН ОПТИМАЛЬНОГО ПОСТРОЕНИЯ ТЕХНОЦЕНОЗОВ В РЕШЕНИИ ЗАДАЧ ЭНЕРГОСБЕРЕЖЕНИЯ**

### **4.1. Методика оптимального управления электропотреблением**

Основу энергосбережения составляет планомерная реализация широкого комплекса технических и технологических мер, которым должна предшествовать оптимизация электропотребления (оптимальное управление электропотреблением) инфраструктуры на системном уровне. Ее целью является упорядочение электропотребления объектами инфраструктуры, экономия направленных на оплату за потребленную электроэнергию средств, полученная за счет организационных мероприятий, а также создание научно обоснованных предпосылок для проведения целенаправленных углубленных энергетических обследований с последующей реализацией технических и технологических мер по энергосбережению. Под инфраструктурой в данном случае понимается техноценоз (регион в целом, город, район, крупное предприятие, организация, фирма, группировка войск, сеть магазинов или заправочных станций и т.п.) [83,86,108,197].

Общая методология исследований в области энергосбережения в соответствии с введенной ранее стратификацией [77,81,83,86,108] может быть условно разделена на три системных уровня (рис. 4.1). Первый уровень соответствует исследованиям, нацеленным на конкретные технические и технологические разработки, способствующие снижению объемов электропотребления (трансформаторы, линии, светотехника, электропривод, электротехнологии и т.д.). В основе методологии здесь лежит имитационное моделирование, которое базируется на аксиоматике гауссовых распределений. На третьем уровне осуществляется стратегическое планирование и прогнозирование в электроэнергетике (оперативное управление, маневрирование максимумами нагрузки, регулирование потоков реактивной мощности и т.д.). Здесь, в дополнение к гауссовой методологии первого уровня, находит применение методология исследования операций, которая базируется на эвристических и алгоритмических процедурах.

Связующим звеном является промежуточный (второй) уровень исследований в области энергосбережения. На нем осуществляется оптимизация электропотребления техноценозов в целом. В качестве методологической основы на этом уровне применяется ранговый анализ. Именно этот уровень является ключевым при построении методологии управления электропотреблением. Учитывая принципиальные концептуальные и методологические отличия, лежащие в основе исследований на втором уровне, он рассматривается как системный по отношению к уровню иссле-

дований, касающихся конкретных технических и технологических решений в области энергосбережения [77,81,83,86,108,148,180,197,229,370].

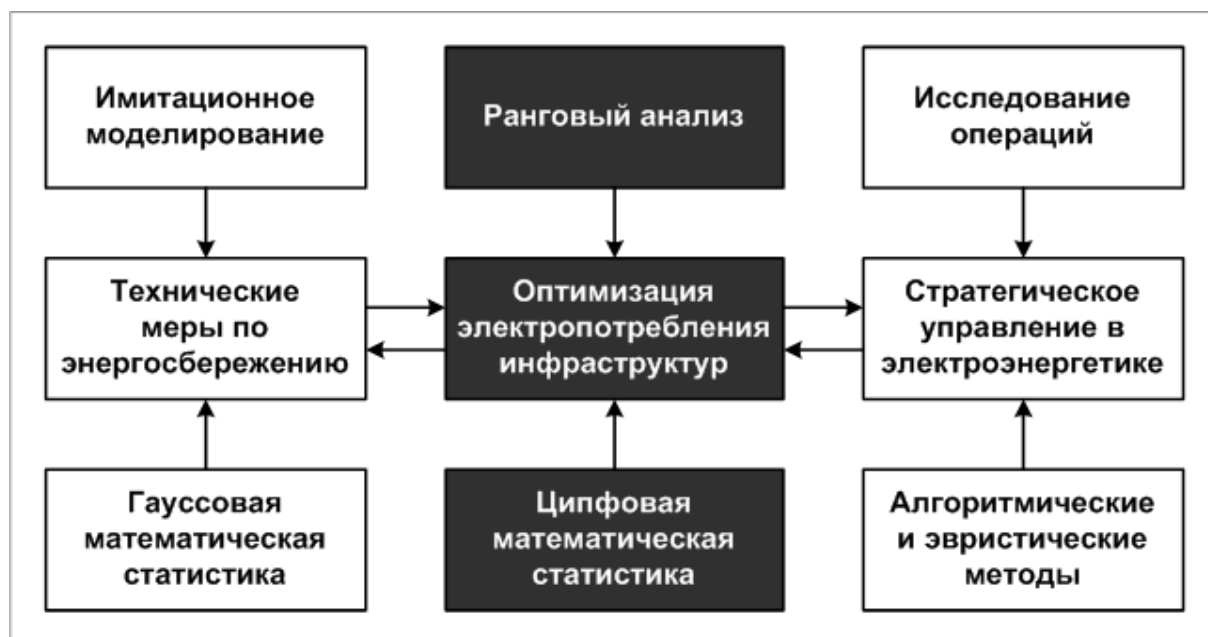


Рис. 4.1. Методологические уровни исследования в области энергосбережения

Оптимизация электропотребления на системном уровне осуществляется в рамках связанной методики, включающей ряд этапов (рис. 4.2) [86,108]. На этапе анализа электропотребления техноценоза по специально разработанным формам запроса осуществляется сбор данных о потребителях электроэнергии. Это позволяет получить развернутую картину электропотребления (с историей на глубину 5 – 6 лет и более), выявить объекты, которые обеспечиваются электроэнергией с нарушением существующих организационно-технических требований, подготовить электронную базу данных для многофакторного анализа. Рекомендуется собранные данные представлять в виде информационно-аналитического комплекса.

Информационно-аналитический комплекс «Управление электропотреблением техноценоза» представляет собой развитую базу данных по электропотреблению объектов, включающую банк и систему управления данными, а также расчетные и графические модули. Комплекс может успешно использоваться при планировании и прогнозировании, а также позволяет оперативно отслеживать информацию о потребителях электроэнергии, обновлять исходные данные для анализа в реальном времени. По запросу оператора из базы может быть получена информация о потребителях электроэнергии с необходимой степенью детализации или обобщения (подробнее – см. приложение 1, а также работы [83,86,108]).

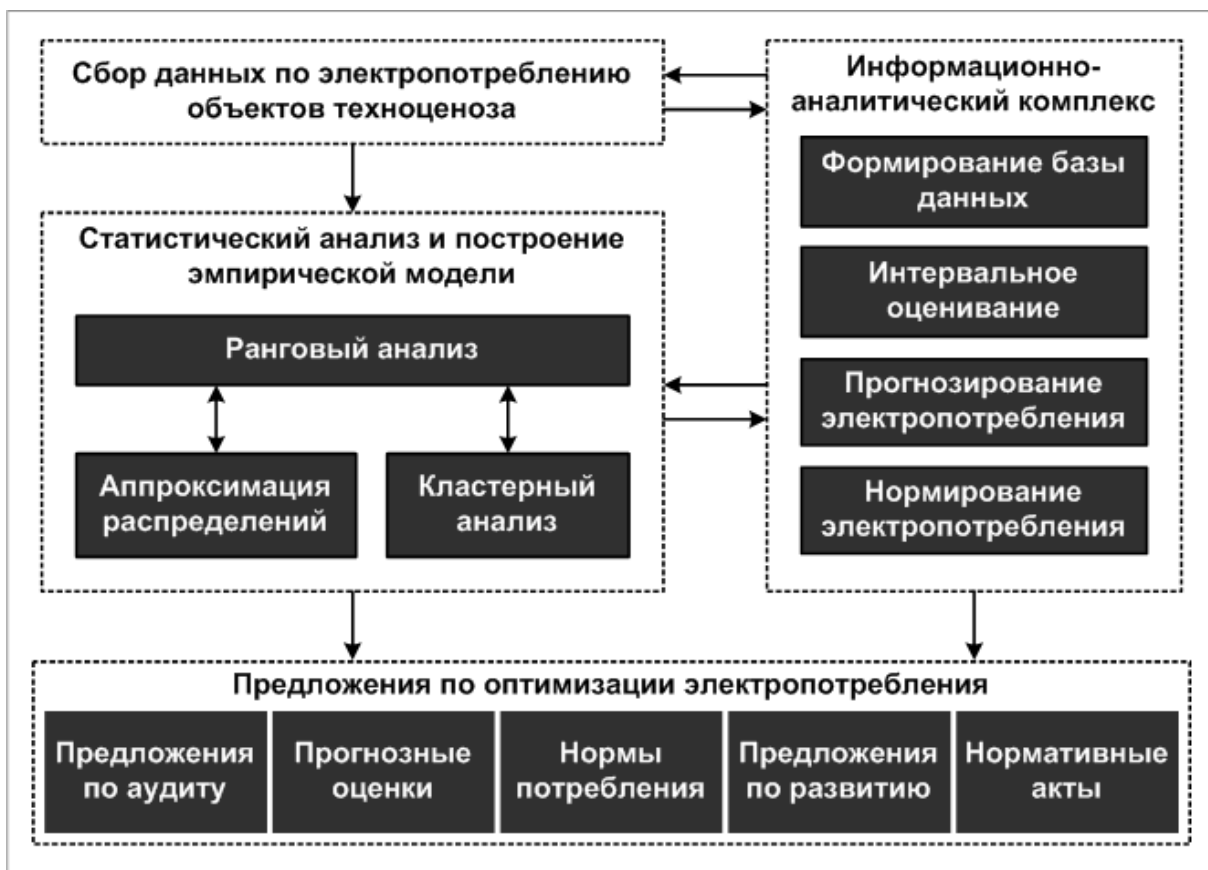


Рис. 4.2. Общая методика оптимального управления электропотреблением техноценоза

На этапе статистического анализа и построения эмпирической модели процесса электропотребления осуществляется полномасштабная статистическая обработка данных по электропотреблению, которая включает взаимосвязанные процедуры рангового и кластерного анализа. Ранговый анализ позволяет упорядочивать информацию, выявлять в динамике и наглядно представлять объекты с аномальным электропотреблением, эффективно осуществлять прогнозирование электропотребления отдельными объектами и техноценозом в целом. Кластерный анализ позволяет разбивать объекты по группам и осуществлять нормирование электропотребления в каждой группе с подробным статистическим описанием норм. С целью повышения точности расчетов стандартные процедуры рангового анализа дополняются соответствующими тонкими процедурами: верификацией базы данных, а также дифлекс-, GZ-, ASR-анализом рангового параметрического распределения (рис. 4.3) [83,86,108]. Следует отметить, что в данном случае не рассматриваются процедуры потенцирования и ZP-анализа, которым будет отдельно посвящена пятая глава [106].

В основе рангового анализа лежит техноценологический подход и теория безгранично делимых ранговых распределений [83,86,108,197]. Получение ранговых распределений осуществляется по результатам аппрок-

симуляции отранжированных экспериментальных данных по электропотреблению объектов техноценоза, при исследовании которых следует обращать внимание на корректность базы данных по электропотреблению, а также ее строгое соответствие статистическим критериям  $N$ -распределения. Оценка корректности базы данных осуществляется в рамках первой тонкой процедуры рангового анализа – верификации (рис. 4.3).

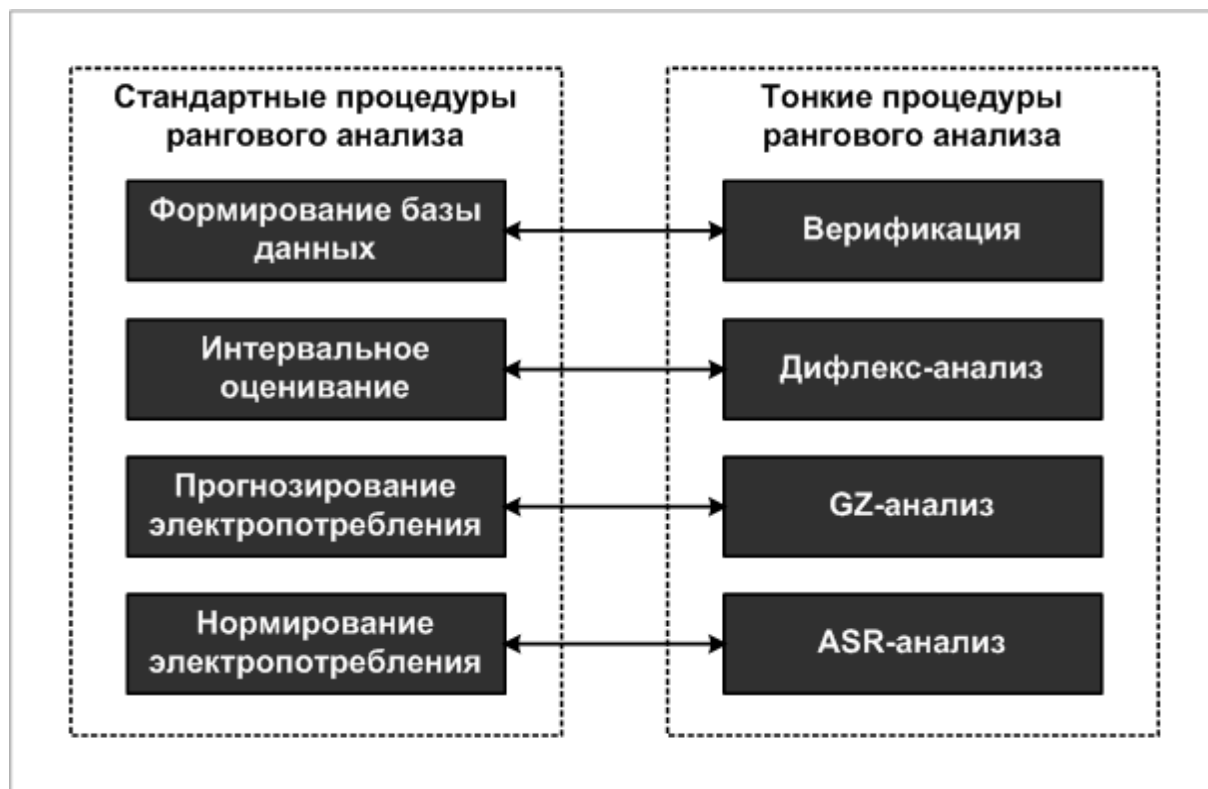


Рис. 4.3. Тонкие процедуры рангового анализа

Как показывает опыт, далеко не всегда исходные данные, используемые для управления электропотреблением техноценоза, оказываются вполне корректными, что значительно снижает достоверность интервального оценивания, прогнозирования и нормирования. Следовательно, требуется предварительная верификация базы данных, которая включает следующие процедуры: 1) устранение нулевых данных; 2) устранение явно ошибочных данных (выбросов); 3) устранение абсолютно равных данных; 4) восстановление утерянных данных; 5) проверка на  $N$ -распределение. Нулевые и абсолютно равные данные являются первым признаком некорректности базы, что очевидно даже с точки зрения физического смысла. Кроме того, подобные данные очень плохо обрабатываются компьютерными программами. Выбросы в данных являются следствием грубых ошибок при фиксации параметров обслуживающим персоналом либо сбоев в работе технических средств измерений. Наконец, потеря данных может произойти как по вине персонала, так и по причине тяжелых сбоев в рабо-

те серверов, на которых хранятся базы. В ряде случаев требуется просто корректное наращивание базы данных на несколько лет «назад». Необходимо отметить, что верификация не является обязательной процедурой, однако она всегда должна применяться в том случае, если есть хотя бы малейшее сомнение в корректности исходных данных. Подробно верификация базы данных рассмотрена на конкретных примерах в [83,86,108].

Проверка соответствия данных критериям Н-распределения заключается в проверке совместного выполнения двух гипотез. Во-первых, совокупность данных не подчиняется нормальному закону и, во-вторых, данные являются значимо взаимосвязанными. В случае если обе гипотезы выполняются, появляется возможность утверждать, что исследуемый объект является техноценозом, и его данные по электропотреблению могут обрабатываться методами рангового анализа. Проверка гипотезы о несоответствии генеральной совокупности данных по электропотреблению нормальному распределению осуществляется при помощи критерия Пирсона, а также методом спрямленных диаграмм. Исследование взаимосвязанности техноценоза выполняется с помощью коэффициента конкордации, выборочного коэффициента ранговой корреляции Кендалла, а также выборочного коэффициента линейной корреляции. Методика расчетов и интерпретация соответствующих параметров изложены в работах [83,86,108].

Как показано в [86], строго математически каждое ранговое распределение в графической форме представляет собой совокупность точек, получаемых по эмпирическим данным. Точки – результат анализа табулированного рангового распределения техноценоза. С точки зрения последующей оптимизации, большое значение имеет аппроксимация эмпирических распределений. Ее задача заключается в подборе аналитической зависимости стандартной гиперболической формы, наилучшим образом описывающей совокупность точек (подробнее – см. работы [83,86,108]).

Ключевой процедурой рангового анализа является интервальное оценивание рангового параметрического распределения по функциональному параметру (рис. 4.4) [83,86,108]. По общему определению интервальное оценивание – процедура оптимального управления ресурсами техноценоза, заключающаяся в определении точек эмпирического рангового параметрического распределения по исследуемому функциональному параметру, выходящих за пределы гауссового переменного доверительного интервала, построенного относительно аппроксимационной кривой распределения. Точки, выходящие за пределы доверительного интервала, фиксируют объекты техноценоза, аномально потребляющие ресурс. При этом если точка находится ниже доверительного интервала, то считается, что объект потребляет ресурсы аномально мало, а если выше интервала, то аномально много. В обоих случаях объект нуждается в углубленном обследовании с целью выявления причин его аномального состояния. Очевидно, что целью процедуры интервального оценивания в нашем случае

является определение объектов, аномально потребляющих электроэнергию, которые требуют углубленного энергетического обследования.

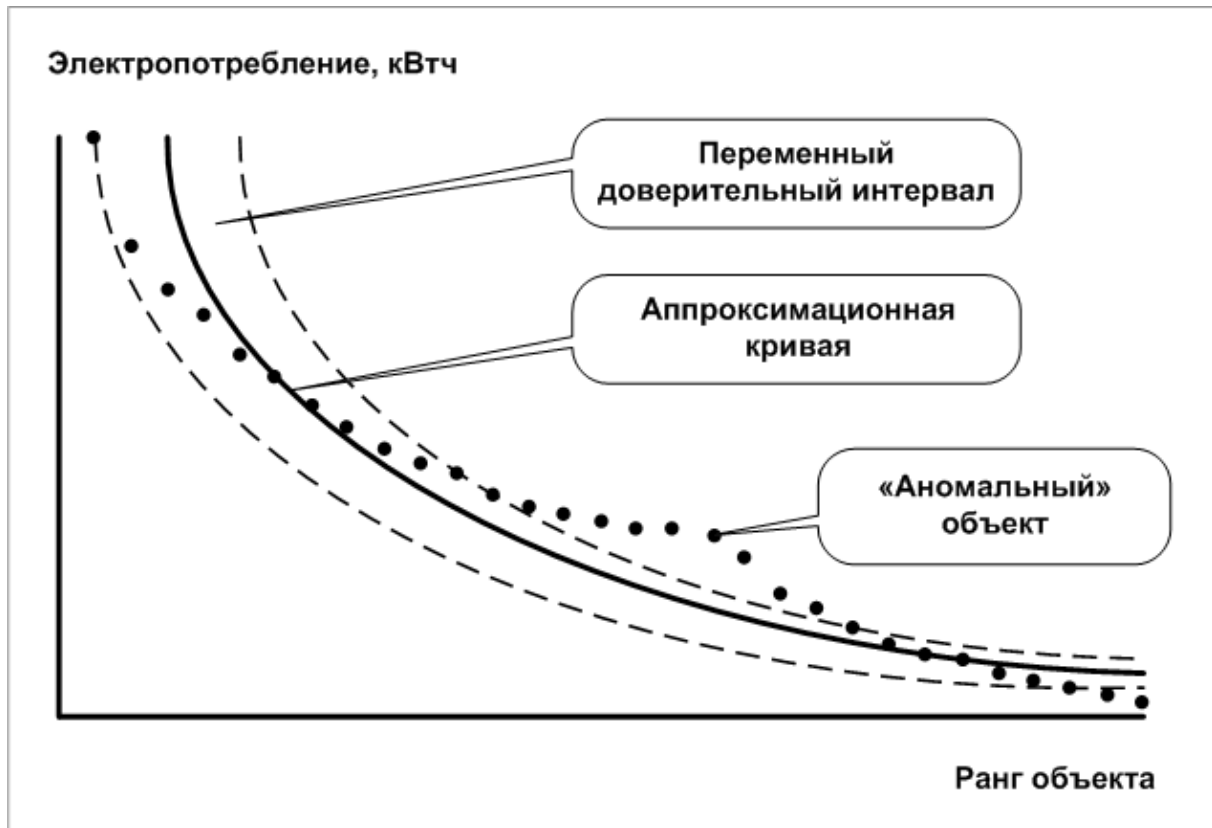


Рис. 4.4. Определение объектов с аномальным электропотреблением

Ранговое параметрическое распределение разбивается на ряд участков с таким расчетом, чтобы, во-первых, на каждом участке было не менее 10 – 12 точек, а во-вторых, отклонения значений экспериментальных параметров от соответствующих теоретических значений, определяемых аппроксимационной кривой, были распределены внутри участка по нормальному закону. Для каждого участка можно записать уравнение [81-86]:

$$\Delta / [\sigma(\Delta\theta)] = \Phi^{-1}(p_d / 2), \quad (4.1)$$

где  $\Delta$  – ширина доверительного интервала в одну сторону от аппроксимационной кривой;  
 $\sigma(\Delta\theta)$  – среднеквадратичное отклонение экспериментальных точек от теоретической кривой (стандарт);  
 $\Phi^{-1}(\tau)$  – обратная функция Лапласа;  
 $p_d$  – априорно принимаемая доверительная вероятность.



В (4.1) обычно применяется стандартная функция Лапласа [23]:

$$\Phi(\tau) = \frac{1}{2\pi} \int_0^{\tau} e^{-x^2/2} dx. \quad (4.2)$$

Решение уравнения (4.1) позволяет определить ширину доверительного интервала на каждом из участков разбиения. Последующая аппроксимация значений на границах участков дает переменный доверительный интервал распределения. Учитывая принятые выше допущения относительно экспериментальных точек, можно сделать следующие выводы. Если точка входит в доверительный интервал, то в пределах гауссового разброса параметров можно судить, что данный объект потребляет электроэнергию нормально для своего участка разбиения рангового распределения. Если точка находится ниже доверительного интервала, то это, как правило, свидетельствует о нарушении нормального технологического процесса электропотребления на данном объекте (частые отключения электроэнергии, неплатежи, избыточная экономия и т.п.). Если точка находится выше интервала, то на соответствующем объекте имеет место аномально большое потребление электроэнергии. Именно на эти объекты в первую очередь должно нацеливаться углубленное энергетическое обследование (энергоаудит). Последовательная (на протяжении ряда лет) реализация методологии совместно с оцениванием жизнеспособности объектов по электропотреблению [84,86] позволит целенаправленно воздействовать на наиболее «слабые» объекты, при этом средства, нацеленные на проведение энергетических обследований, будут расходоваться наиболее эффективно, а общее электропотребление техноценоза будет постоянно снижаться.

Для более тонкой настройки процедур управления электропотреблением на этапе интервального оценивания проводится дифлекс-анализ (Deflexion analysis) распределения (рис. 4.3). Его целью является разработка оптимального плана энергетических обследований «аномальных» объектов на среднесрочную перспективу (до 5 – 7 лет). При этом предполагается, что основным индикатором дифлекс-анализа является отклонение эмпирического значения электропотребления «аномального» объекта от верхней границы переменного доверительного интервала (рис. 4.5) [83,86,108].

Очевидно, что с точки зрения методологии энергосбережения и оптимального управления электропотреблением наибольший интерес представляют «аномальные» объекты, электропотребление которых выше верхней границы. Из рисунка 4.5 видно, что «степень аномальности»  $k$ -го объекта техноценоза с точки зрения его электропотребления в этом случае может характеризоваться абсолютным дифлекс-параметром [86,108]:

$$\Delta W_k = W_k - W^B(r_k), \quad (4.3)$$

где  $W_k$  – эмпирическое значение электропотребления  $k$ -го объекта техноценоза;  
 $W(r)$  – ранговое параметрическое распределение по электропотреблению с рангом  $r$ ;  
 $r_k$  – ранг  $k$ -го объекта на распределении  $W(r)$ ;  
 $W^B(r_k)$  – значение электропотребления объекта, соответствующее  $k$ -му рангу на верхней границе переменного доверительного интервала.

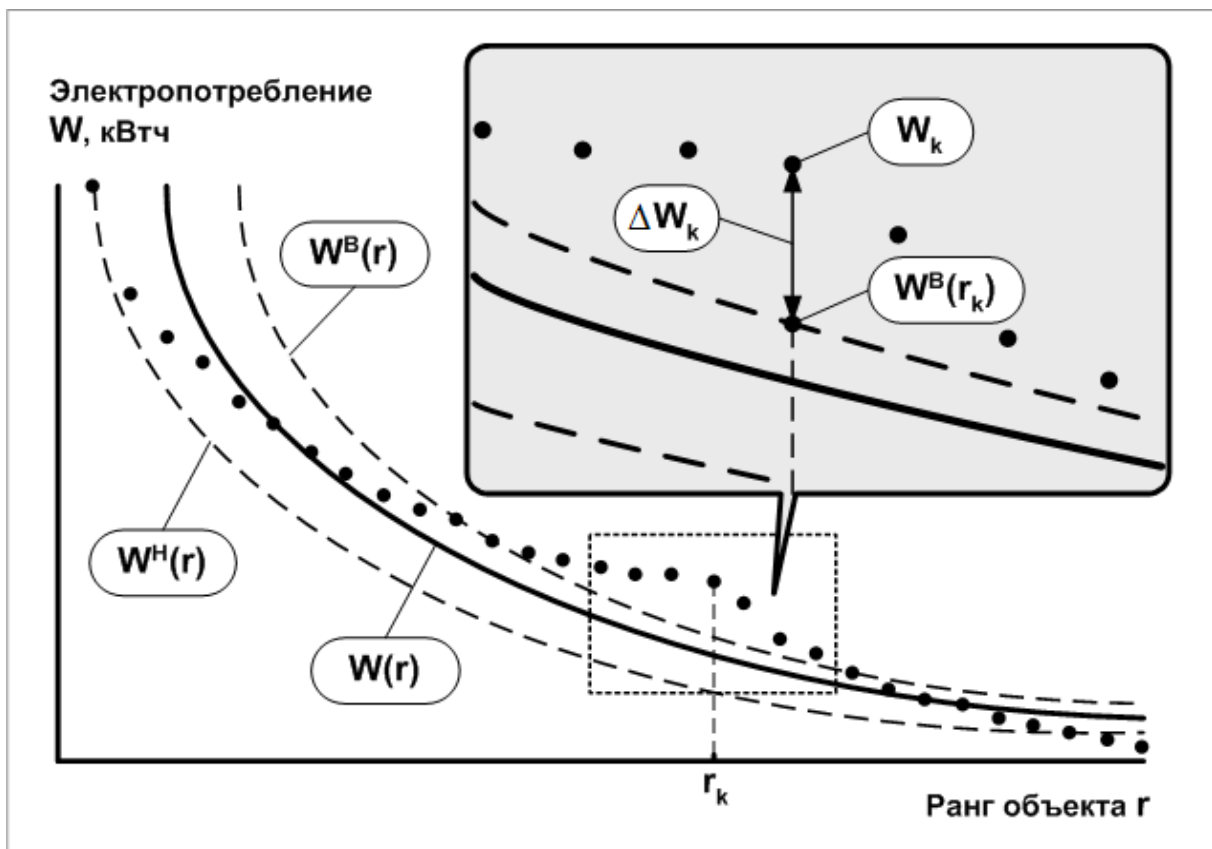


Рис. 4.5. К вопросу определения отклонения эмпирического значения электропотребления «аномального» объекта от верхней границы переменного доверительного интервала

В процессе рангового анализа можно вести речь также и об относительном дифлекс-парамetre  $k$ -го объекта техноценоза [83,86,108]:

$$\Delta W_k^o = \frac{W_k - W^B(r_k)}{W_k}. \quad (4.4)$$



Значения электропотребления, соответствующие  $k$ -му рангу на верхней и нижней границах переменного доверительного интервала рангового распределения (см. рис. 4.5), определяются следующим образом:

$$\begin{cases} W^B(r_k) = W(r_k) + \frac{\Phi^{-1}(p_\delta)[\sigma_k]}{2}; \\ W^H(r_k) = W(r_k) - \frac{\Phi^{-1}(p_\delta)[\sigma_k]}{2}, \end{cases} \quad (4.5)$$

- где  $W(r_k)$  – значение электропотребления на аппроксимационной кривой рангового параметрического распределения, соответствующее рангу  $r_k$ ;
- $\Phi^{-1}(\tau)$  – обратная функция Лапласа, задающая верхнюю и нижнюю границы переменного доверительного интервала (см. выражение (4.2));
- $p_\delta$  – априорно принимаемая (как правило, 95 %-ная) доверительная вероятность;
- $[\sigma_k]$  – эмпирический стандарт рангового распределения в параметрическом кластере  $k$ -го объекта.

Следует отметить, что для сравнения объектов в пределах одного параметрического кластера на фиксированном временном интервале можно использовать относительный дифлекс-параметр. Однако для более тонкой оценки следует осуществлять процедуру ранжирования аномальных объектов по абсолютному дифлекс-параметру с последующей аппроксимацией и получением, так называемого, вторичного рангового параметрического распределения с особым рангом  $r_D$ , не совпадающим с  $r$ . Это позволит определить интегральный дифлекс-параметр техноценоза [86,108]:

$$\Delta W_\Sigma = \int_0^\infty \Delta W(r_D) dr_D, \quad (4.6)$$

- где  $\Delta W(r_D)$  – ранговое параметрическое распределение «аномальных» объектов техноценоза по абсолютному дифлекс-параметру с рангом  $r_D$ .

Аппроксимация распределения обычно осуществляется с помощью стандартной гиперболической формы с параметрами  $\Delta W_1$  и  $\beta_D$  [83,86]:

$$\Delta W = \frac{\Delta W_1}{r_D^{\beta_D}}. \quad (4.7)$$

Дальнейший ранговый анализ техноценоза заключается в получении особых динамических дифлекс-функций [83,86,108]:

$$\Delta W_{\Sigma}(t); \Delta W_1(t); \beta_D(t), \quad (4.8)$$

где  $t$  – время функционирования техноценоза.

Реализация процедур прогнозирования применительно к функциям (4.8) позволяет оценить динамику «аномальных» объектов, а также разработать программу углубленных энергетических обследований на среднесрочную перспективу, реализующую критерий [83,86,108]:

$$\sum_{t=1}^m \left( \int_0^{\infty} \Delta W^t(r_D) dr_D \right) \rightarrow \min, \quad (4.9)$$

где  $\Delta W^t(r_D)$  – ранговое параметрическое распределение «аномальных» объектов техноценоза по абсолютному дифлекс-параметру на  $t$ -ом временном интервале;  
 $m$  – количество анализируемых временных интервалов.

Прогнозирование – процедура оптимального управления ресурсами техноценоза, заключающаяся в определении вероятных значений функциональных параметров в будущем. Применительно к техноценозу прогнозирование может осуществляться G-методами (Gauss-методами, основанными на гауссовой математической статистике), Z-методами (Zipf-методами, основанными на ципфовой математической статистике) и синтетическими GZ-методами, органично сочетающими их достоинства. Однако GZ-прогнозирование предполагает выполнение предварительной процедуры верификации, реализуемой методами GZ-анализа техноценоза (Gauss-Zipf analysis), в основе которого лежит процедура оценки системного параметрического ресурса кластеров объектов. Прогнозирование может выполняться на основе статической модели, корректно отражающей процесс потребления ресурса техноценозом на год вперед. Динамическое стохастическое моделирование, учитывающее вероятные изменения в системе исходных данных, позволяет осуществлять прогноз потребления ресурса техноценозом на среднесрочную перспективу (5 – 7 лет) [83,86,108].

Итак, прогнозирование электропотребления объектов техноценоза осуществляется на основе синтетической GZ-методологии, сочетающей достоинства как традиционных (гауссовых, Gauss-method), так и техноценологических (цифровых, Zipf-method) методов. На рисунке 4.6 приведена структура прогнозной базы данных по электропотреблению [83,86,108].

Ранг	Электропотребление объектов техноценоза по годам, кВтч									
	t-8	t-7	t-6	t-5	t-4	t-3	t-2	t-1	t	t+1
1	$W_{18}$	$W_{17}$	$W_{16}$	$W_{15}$	$W_{14}$	$W_{13}$	$W_{12}$	$W_{11}$	$W_{10}$	?
2	$W_{28}$	$W_{27}$	$W_{26}$	$W_{25}$	$W_{24}$	$W_{23}$	$W_{22}$	$W_{21}$	$W_{20}$	?
3	$W_{38}$	$W_{37}$	$W_{36}$	$W_{35}$	$W_{34}$	$W_{33}$	$W_{32}$	$W_{31}$	$W_{30}$	?
4	$W_{48}$	$W_{47}$	$W_{46}$	$W_{45}$	$W_{44}$	$W_{43}$	$W_{42}$	$W_{41}$	$W_{40}$	?
5	$W_{58}$	$W_{57}$	$W_{56}$	$W_{55}$	$W_{54}$	$W_{53}$	$W_{52}$	$W_{51}$	$W_{50}$	?
6	$W_{68}$	$W_{67}$	$W_{66}$	$W_{65}$	$W_{64}$	$W_{63}$	$W_{62}$	$W_{61}$	$W_{60}$	?
7	$W_{78}$	$W_{77}$	$W_{76}$	$W_{75}$	$W_{74}$	$W_{73}$	$W_{72}$	$W_{71}$	$W_{70}$	?
.....	.....	.....	.....	.....	.....	.....	.....	.....	.....	.....
n-1	$W_{(n-1)8}$	$W_{(n-1)7}$	$W_{(n-1)6}$	$W_{(n-1)5}$	$W_{(n-1)4}$	$W_{(n-1)3}$	$W_{(n-1)2}$	$W_{(n-1)1}$	$W_{(n-1)0}$	?
n	$W_{n8}$	$W_{n7}$	$W_{n6}$	$W_{n5}$	$W_{n4}$	$W_{n3}$	$W_{n2}$	$W_{n1}$	$W_{n0}$	?

Рис. 4.6. Структура прогнозной базы данных по электропотреблению:  
 $W_{km}$  – электропотребление k-го объекта в (t – m)-ом году

Предварительно осуществляется выделение из состава базы данных техноценоза следующих информационных подсистем. Фактические известные данные по электропотреблению в текущем году составляют «Вектор верификации». Прогнозируемые данные в будущем году определяются как «Вектор прогнозирования». Все остальные известные данные образуют «Матрицу данных» (рис. 4.6) (подробнее – см. [83,86,108]).

Процесс прогнозирования электропотребления объектов техноценоза реализуется в два взаимосвязанных этапа. На первом этапе в качестве базы прогнозирования используется матрица данных, применительно к которой реализуются последовательно все имеющиеся в распоряжении методы прогнозирования. Статистическое сравнение полученных прогнозных результатов с соответствующими данными вектора верификации позволяет для каждого из объектов определить наиболее эффективный метод. Затем

на втором этапе прогнозирования вектор верификации присоединяется к матрице данных и осуществляется окончательный прогноз электропотребления, причем процедура для каждого объекта осуществляется именно тем методом, который на первом этапе был определен для него как наиболее эффективный. Как уже сказано выше, данная методология прогнозирования электропотребления техноценоза в работе [86] впервые названа автором GZ-методом. В базе данных прогнозирования могут использоваться самые различные известные методы. В любом случае в процессе реализации GZ-алгоритма выбирается наиболее эффективный из них.

Для прогнозирования электропотребления объектов G-методами в основном используются нелинейные многочлены. В случае необходимости может быть применено линейное или экспоненциальное сглаживание модели, что несколько повышает точность расчетов. В процессе прогнозирования электропотребления техноценоза Z-методами должны учитываться техноценологические свойства, сводящиеся в конечном итоге к понятию устойчивости гиперболических ранговых параметрических распределений (рис. 4.7). Полная совокупность методов прогнозирования, используемых при моделировании процессов управления электропотреблением, составляет так называемый GZ-модуль прогнозирования, который ранее подробно разобран в ряде авторских работ (подробнее – см. [83,86,108]).

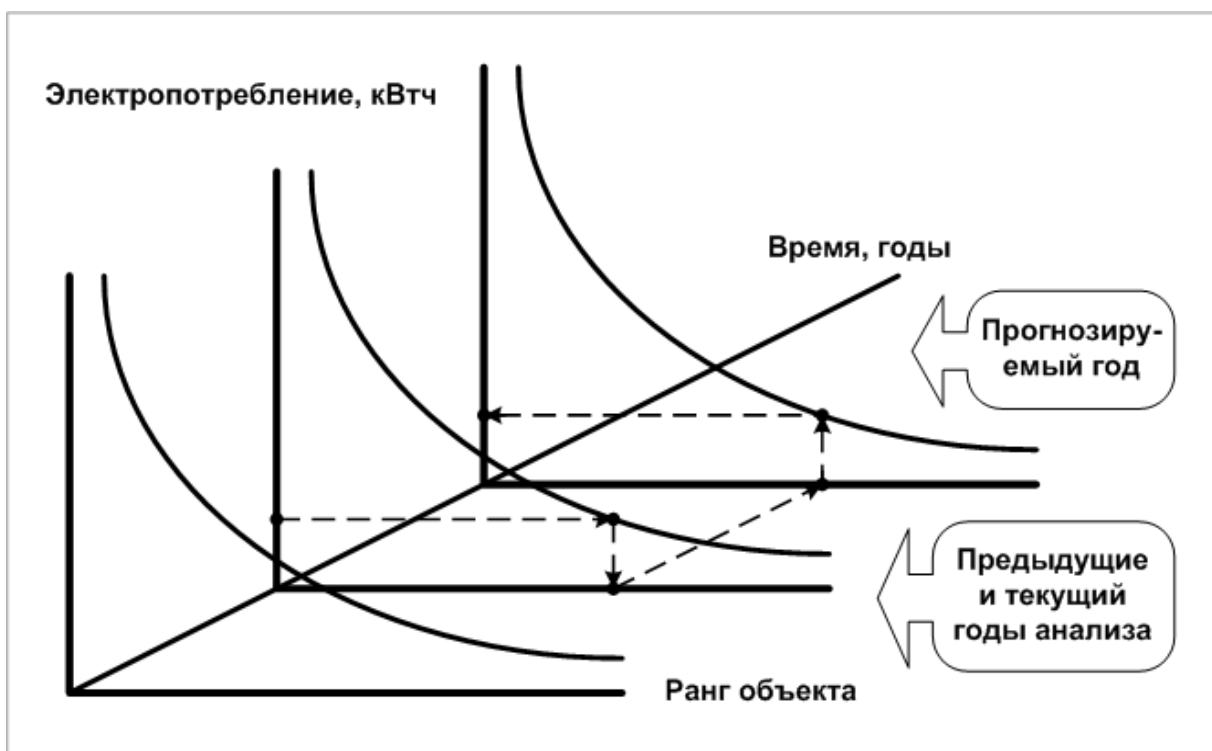


Рис. 4.7. Прогнозирование электропотребления техноценоза Z-методами

После получения GZ-методами для каждого объекта в отдельности прогнозных значений электропотребления, строится прогнозное ранговое параметрическое распределение для техноценоза в целом. Суммарное электропотребление определяется на основе численной реализации:

$$W_{\Sigma} = \int_0^{\infty} \frac{W_{0P}}{r^{\beta_P}} dr, \quad (4.10)$$

где  $W_{0P}$  и  $\beta_P$  – прогнозные параметры распределения,

по выражению (при выполнении требований аддитивности данных):

$$W_{\Sigma} \cong \sum_{k=1}^n W_{Pk}, \quad (4.11)$$

где  $n$  – общее количество объектов техноценоза;

$W_{Pk}$  – прогнозное электропотребление  $k$ -го объекта.

Как показано в работах [83,86,90,94-96,102-104,110,111,114-119], погрешность прогнозирования электропотребления GZ-методами для отдельных объектов может составить всего 4 – 10 %. При этом погрешность прогноза для техноценоза в целом, как правило, не превышает 1,5 – 2 %.

В процедуре прогнозирования существенную сложность составляет операция выбора G- или Z-методологии. Предлагается выбор осуществлять на основе введенного автором тонкого GZ-анализа рангового параметрического распределения (рис. 4.3, 4.8), а в качестве критерия выбора метода рассматривать соотношение объемов гауссового и системного ресурсов кластеров техноценоза [83,86,108]. При этом гауссовый ресурс:

$$W_G = \left( \int_{r_1}^{r_2} W^g(r) dr \right) - ((r_2 - r_1)W_2), \quad (4.12)$$

где  $W(r)$  – ранговое параметрическое распределение техноценоза по электропотреблению;

$W^g(r)$  – гауссовое распределение, соответствующее кластерному распределению параметров в ранговой дифференциальной форме;

$W_2$  – значение электропотребления, соответствующее правой ранговой границе кластера.

Системный ресурс кластера техноценоза равен (рис. 4.8):

$$W_Z = \int_{r_1}^{r_2} (W(r) - W^g(r)) dr. \tag{4.13}$$

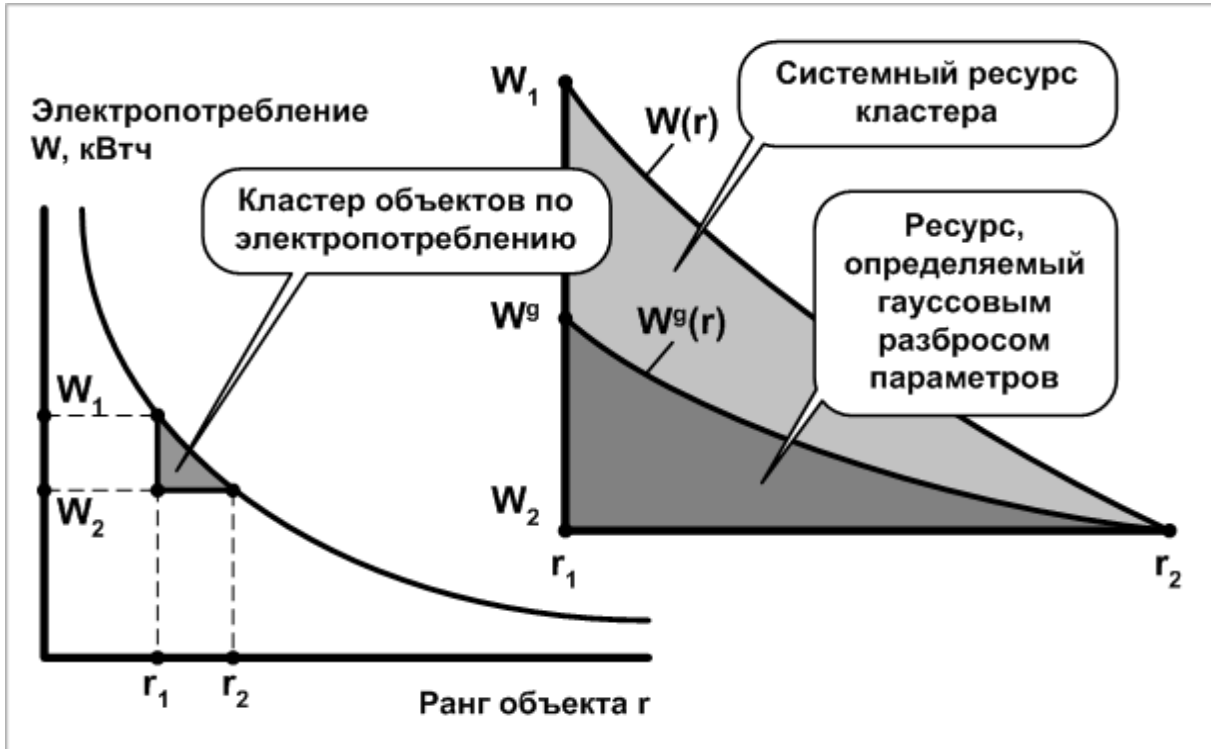


Рис. 4.8. К вопросу выбора G- или Z-метода прогнозирования по соотношению гауссового и системного ресурсов

В качестве интегрального критерия выбора метода прогнозирования в рамках GZ-методологии может применяться следующая альтернатива:

$$\begin{cases} \frac{W_G}{W_Z} > W^C \Rightarrow \text{Gauss - method;} \\ \frac{W_G}{W_Z} \leq W^C \Rightarrow \text{Zipf - method,} \end{cases} \tag{4.14}$$

где  $W^C$  – критериальное значение соотношения GZ-ресурсов.

Следует отметить, что критериальное значение соотношения GZ-ресурсов в выражении (4.14) определяется отдельно для каждого параметрического кластера техноценоза на основе предварительной юстировки базы методов прогнозирования к базе данных по электропотреблению.



В работах [86,92,97,103,108] методология GZ-анализа обобщена и детализирована. В частности, показано, что GZ-анализ может реализовываться в двух вариантах, первый из которых является упрощенным эвристическим, а второй – основным критериальным. Эвристический вариант как основной метод прогнозирования применяется только для оценочных расчетов, причем на сравнительно небольших базах данных. Кроме того, с помощью него на предварительном этапе синтезируется так называемая GZ-матрица методов прогнозирования, необходимая для процедуры юстировки ключевых параметров критериального варианта GZ-анализа. Критериальный вариант GZ-анализа позволяет еще до начала собственно процедуры прогнозирования осуществить выбор G- или Z-методологии, что существенно ускоряет расчеты и повышает их точность (положительный эффект пропорционален размерам базы данных). Как следует из закона оптимального построения техноценозов, в качестве критерия выбора метода следует рассматривать соотношение объемов системного и гауссового ресурсов кластеров, которое называется коэффициентом когерентности и показывает степень согласованности поведения объекта по отношению к техноценозу. При сравнительно больших значениях коэффициента лучше работают G-методы, в противном случае – Z-методы. Более подробно данный аспект будет рассмотрен здесь в последующих параграфах.

Нормирование – процедура оптимального управления ресурсами техноценоза, заключающаяся в определении статистических параметров (как правило, эмпирического среднего и стандарта) кластеров техноценоза, выделенных на ранговом параметрическом распределении по исследуемому функциональному параметру. Кластеризация объектов техноценоза осуществляется методами автоматической классификации (в частности, кластерного анализа) и позволяет выделить группы объектов, которые на определенном временном интервале потребляют ресурс сходным образом (рис. 4.9). Как показали многочисленные исследования, процедура нормирования в сочетании с интервальным оцениванием и прогнозированием позволяет предъявлять объектам научно обоснованные нормы расходования ресурсов [83,86,90,94-96,102-104,110,111,114-119,180,229].

В соответствии с [6,83,86,100,101,106,108] кластер-процедуры реализуются на пространстве экспериментальных данных по электропотреблению объектов техноценоза в соответствии с аддитивным критерием качества классификации, который на фиксированном множестве  $f$ -разбиений  $(r_1, W_1), (r_2, W_2), \dots, (r_k, W_k)$  на заданное число классов  $S_1, S_2, \dots, S_n$

$$S_f = (S_1, S_2, \dots, S_n) \quad (4.15)$$

в наиболее общей форме выглядит следующим образом:

$$Q(S) = \sum_{f=1}^n \left( \sum_{(r_i, W_i), (r_j, W_j) \in S_f} (d_E^2((r_i, W_i), (r_j, W_j))) \right) \rightarrow \text{extr}, \quad (4.16)$$

где  $d_E((r_i, W_i), (r_j, W_j))$  – взвешенное евклидово расстояние между полученными точками.

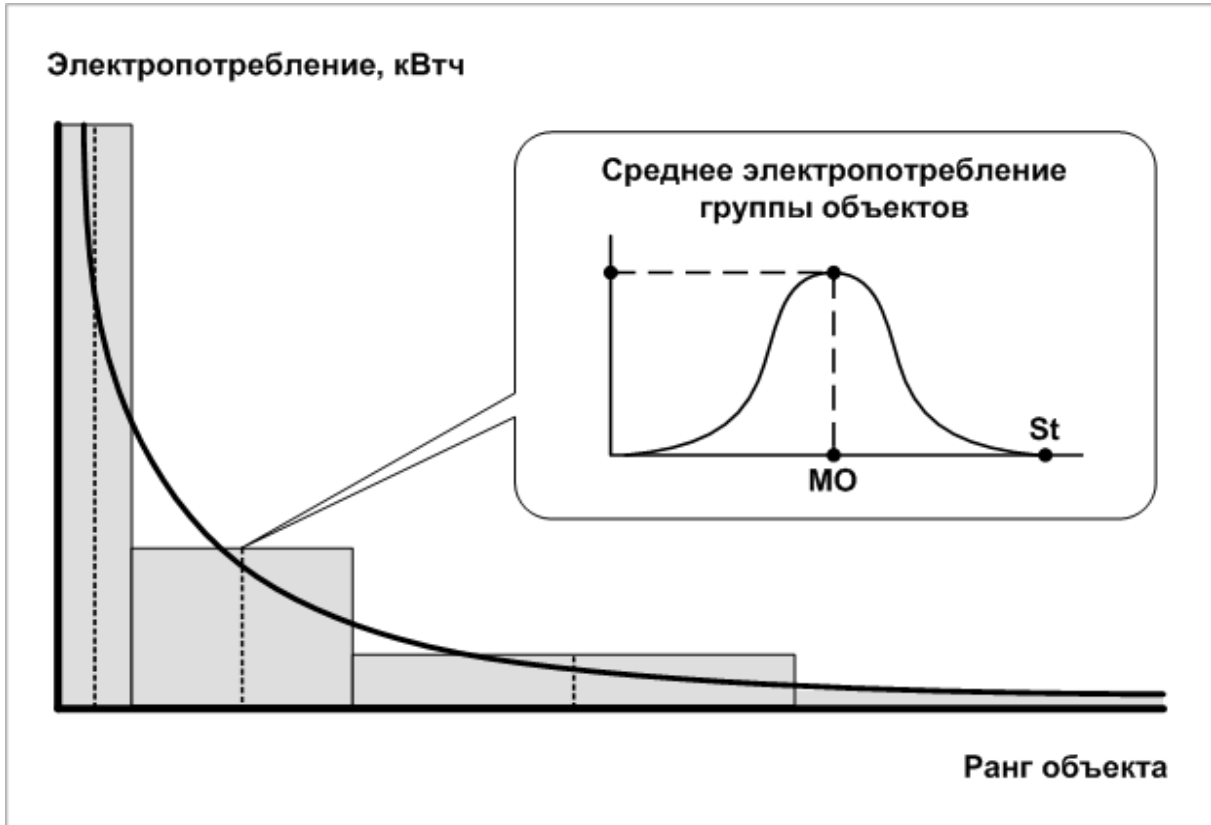


Рис. 4.9. Нормирование электропотребления объектами техноценоза

Кластер-процедура (4.15) дополняется проверкой расстояния между классами  $S_f$  и  $S_m$ , измеренного по принципу «ближнего соседа». При этом циклично реализуется минимаксный критерий [83,86,108]:

$$\rho_{\min}(S_f, S_m) = \min \{ d((r_f, W_f), (r_m, W_m)) \}_{(r_f, W_f) \in S_f, (r_m, W_m) \in S_m} \rightarrow \max. \quad (4.17)$$

По результатам кластер-анализа объекты техноценоза разбиваются на группы (классы, кластеры) по «сходному» электропотреблению. После этого возникает возможность определения норм электропотребления внутри каждой из групп. Норма представляет собой среднее и эмпирический

стандарт, определяемые на выборке значений электропотребления рассматриваемой группы. Количество групп разбиения целесообразно иметь таким, чтобы в наиболее многочисленные из них входило не более 10 – 12 объектов. Среднее электропотребления для  $s$ -ой группы объектов:

$$\bar{W}_s = \frac{\int_{r_{s-1}}^{r_s} \frac{W_0}{r^\beta} dr}{r_s - r_{s-1}} \cong \frac{1}{n_s} \sum_{i=1}^{n_s} W_i, \quad (4.18)$$

где  $r_{s-1}$  и  $r_s$  – левая и правая ранговые границы нормируемой группы объектов на распределении;  
 $W_0$  и  $\beta$  – параметры рангового распределения;  
 $n_s$  – количество объектов в  $s$ -ой группе;  
 $W_i$  – эмпирическое значение электропотребления  $i$ -го объекта техноценоза.

Эмпирический стандарт для этой же группы объектов техноценоза:

$$\sigma_s \cong \sqrt{\frac{1}{n_s - 1} \sum_{i=1}^{n_s} (\bar{W}_s - W_i)^2}. \quad (4.19)$$

Классические процедуры кластер-анализа, будучи применены в рамках процедуры нормирования объектов техноценоза, дают неплохие результаты, однако обладают существенным недостатком. Они усредняют анализируемый параметр в пределах кластера на основе гауссовой математической статистики и тем самым не учитывают системный ресурс параметрического кластера (см. рис. 4.8). Устраняется данный недостаток в рамках процедуры ASR-анализа (Adding System Resource analysis), являющейся тонким дополнением к нормированию (рис. 4.3 и 4.10) [83,86,108]. Реализация процедуры ASR-анализа в данном случае заключается в добавлении к среднему нормы соответствующей его рангу ASR-нормы:

$$\bar{W}_k^{ASR} = \bar{W}_k + (W(r_k) - W^g(r_k)), \quad (4.20)$$

где  $\bar{W}_k^{ASR}$  – результирующее среднее нормы для  $k$ -го объекта техноценоза с учетом ASR-нормы;  
 $\bar{W}_k$  – среднее нормы  $k$ -го объекта (см. (4.18));  
 $W(r_k) - W^g(r_k)$  – ASR-норма  $k$ -го объекта (см. рис. 4.8 и 4.10).

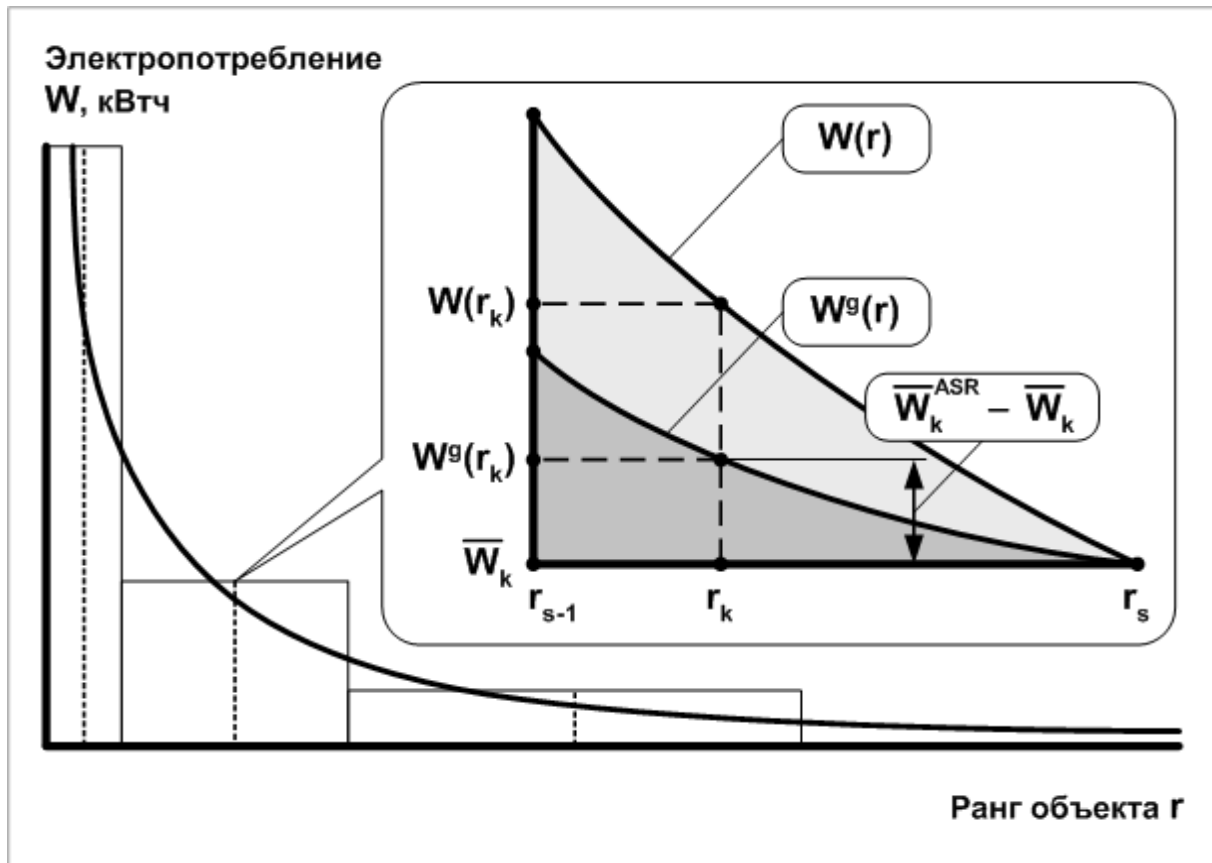


Рис. 4.10. К вопросу добавления системного ресурса к нормам по электропотреблению в рамках ASR-анализа

ASR-нормирование электропотребления техноценоза на эмпирическом материале всей имеющейся базы позволяет закрепить за каждым объектом на каждом временном интервале индивидуальную норму электропотребления. Процедура аппроксимации дает динамические функции зависимости среднего и стандарта нормы  $k$ -го объекта во времени [86,108]:

$$\begin{cases} \overline{W}_k^{ASR}(t); \\ \sigma_k(t), \end{cases} \quad (4.21)$$

где  $t$  – время функционирования техноценоза.

Реализация процедур прогнозирования (совместно с GZ-анализом) применительно к функциям (4.21) в ряде случаев позволяет удовлетворительно оценить динамику норм электропотребления объектов, а также разработать программу нормирования на среднесрочную перспективу, реализующую аддитивный критерий (подробнее – см. работы [83,86,106,108]):

$$\sum_{t=1}^m \sum_{k=1}^n \overline{W}_{kt}^{ASR} \rightarrow \min, \quad (4.22)$$

где  $\overline{W}_{kt}^{ASR}$  – ASR-среднее нормы k-го объекта на t-ом временном интервале (m – общее количество интервалов);  
 n – количество объектов техноценоза.

Важно понимать, что объекты в процедуре нормирования группируются не по отраслевому или технологическому принципу, а по сходному процессу электропотребления. Следует также отметить, что получаемые нормы эффективны только для исследуемого техноценоза и не применимы для других, однако для данного техноценоза они надежны и устойчивы. В любом случае их можно непрерывно (помесячно, ежегодно) уточнять, одновременно с изменением базы данных по электропотреблению.

Особо следует оговорить так называемые удельные нормы электропотребления объектов техноценоза. Как представляется, удельные нормы, образуемые как отношение электропотребления к лидинговому (наиболее важному) технологическому показателю, фактически неприменимы в процедуре нормирования. Основной причиной является то, что внутри реального техноценоза практически никогда нет возможности определить некий универсальный технологический показатель, общий для всех объектов. Если же речь идет о сравнении различных (даже принадлежащих к одной отрасли) техноценозов, то как неоднократно показано в рамках классической технетики [108,197], подобная операция вообще не имеет смысла. Исключением является процедура удельного нормирования внутри функциональных групп техноценоза, осуществляемая в рамках процедур потенцирования и ZP-анализа, которые будут рассмотрены в пятой главе.

Таким образом, на этапе статистического анализа и построения эмпирической модели процесса электропотребления осуществляется глубокая обработка данных по электропотреблению объектов, которая включает интервальное оценивание, прогнозирование и нормирование потребления ресурсов. Интервальное оценивание выявляет в динамике и наглядно представляет объекты с аномальным электропотреблением. Прогнозирование электропотребления отдельными объектами и техноценозом в целом осуществляется с использованием гауссовых и ципфовых методов. Кластерный анализ позволяет разбить объекты по группам и осуществить нормирование электропотребления в каждой группе. Более тонкий анализ рангового параметрического распределения позволяет существенно повысить эффективность рангового анализа. Он осуществляется в рамках процедур дифлекс-анализа (на этапе интервального оценивания), GZ-анализа (на этапе прогнозирования) и ASR-анализа (на этапе нормирования).